

沉默氯离子通道蛋白 1 基因表达对胃癌细胞的影响

马鹏飞 孙君军 郑幼伟 刘伟峰 张晓辉 张小博

摘要 目的 观察沉默细胞内氯离子通道蛋白 1(chloride channel protein 1, CLIC1)的基因表达后对胃癌 BGC - 823 细胞增值、侵袭、迁移以及周期和凋亡的影响。**方法** 化学合成针对 CLIC1 的靶向 siRNA(CLIC1 siRNA 组),以转染脂质体试剂细胞(MOCK 组)和空白细胞(CTRL 组)作为对照。用 MTT、流式细胞术以及 Transwell 分别观察细胞的增值、周期、凋亡、侵袭和迁移能力的变化。**结果** 转染 24h、48h 和 72h 后,CLIC1 siRNA 组与 MOCK 组、CTRL 组相比,其增殖能力均显著增强($P < 0.05$) ;转染 48h 后 CLIC1 siRNA 组 G_2/M 期细胞明显增多($P < 0.05$)、凋亡率显著降低($P < 0.05$)、侵袭及迁移细胞数明显下降($P < 0.05$)。**结论** CLIC1 在胃癌的发生、发展及侵袭迁移中过程发挥重要作用。

关键词 胃癌 siRNA CLIC1

中图分类号 R73

文献标识码 A

DOI 10.11969/j.issn.1673-548X.2018.10.024

Effects of Silencing Chloride Intracellular Channel 1 Gene Expression on the Gastric Cancer Cell. Ma Pengfei, Sun Junjun, Zheng Youwei, et al. Department of Hepatobiliary Surgery, The First Affiliated Hospital of Henan University of Science and Technology, Henan 471003, China

Abstract Objective To study the effects of silencing CLIC 1 gene expression on proliferation, migration, invasion, cell cycle and apoptosis of gastric cancer cell line BGC - 823. **Methods** Synthesized siRNA targeting CLIC1 was transfected into BGC - 823 cells, while BGC - 823 cells transfected with Lipofectamine 2000 and vacant BGC - 823 cells were used as controls. Using MTT and flow cytometry, we studied the change of proliferation, apoptosis, cell cycle of BGC - 823 cells after the expression of clinc1 gene was inhibited. At the same time, cell invasion was assessed by transwell chamber. **Results** Compared CLIC1 siRNA group with MOCK group and CTRL group, after transfecting 24h, 48h and 72h with CLIC1 siRNA, the energy of proliferation of BGC - 823 cells was significantly increased($P < 0.05$). After transfecting 48h with CLIC1 siRNA, the number of cells in G_2/M period increased ($P < 0.05$), the number of apoptosis cells decreased remarkably($P < 0.05$). And the number of invasion and migration cells decreased drastically($P < 0.05$). **Conclusion** CLIC1 may play an important role in the gastric carcinogenesis and metastasis.

Key words Gastric cancer; siRNA; CLIC1

胃癌在全球癌症致死原因中排第 2 位,在我国更是高发^[1]。复发和转移是导致其治疗失败的重要原因,如何抑制肿瘤细胞侵袭和转移是治疗胃癌亟待解决的问题。氯离子通道蛋白 1(CLIC1)在正常胃组织中有少量的表达,而在胃癌组织中过表达,并且 CLIC1 与淋巴结和周围神经的侵袭、迁移及病理分期密切相关,提示它是一个潜在的肿瘤标志物^[2]。本研究中,笔者通过 RNA 干扰技术沉默胃癌细胞中 CLIC1 的表达,探讨其发生、发展机制。

材料与方法

1. 试剂和材料:脂质体 2000(Lipo2000)购自美国 Invitrogen 公司;MGC - 823 购自中国科学院上海

细胞库;周期和凋亡试剂盒购自南京 KeyGEN 公司;Transwell 购自美国 Corning 公司;MTT(噻唑蓝)购自美国 Sigma 公司。

2. 胃癌细胞 MGC - 823 的培养:将 MGC - 823 培养于 37℃,5% CO₂饱和湿度的培养箱内培养,细胞培养液 DMEM 中加入 10% 胎牛血清。

3. siRNA 合成:参照文献[3]于上海吉玛公司合成适宜的 siRNA 片段。

4. 细胞转染与分组:实验分为 3 个组:①空白对照组(CTRL 组);②脂质体对照组(MOCK 组);③CLIC1 siRNA 组;用 Lipo2000 做瞬时转染;参照前期实验^[3]用标记带有荧光的阴性对照 siRNA 优化转染条件,评价转染效率;用实时定量 PCR 和 Western blot 法检测沉默前后 CLIC1 基因及蛋白的表达情况。

5. 噻唑蓝(MTT)法检测细胞增殖:转染后分别于

基金项目:河南省基础与前沿技术研究计划项目(132300410106)

作者单位:471003 洛阳,河南科技大学第一附属医院肝胆外科

通讯作者:马鹏飞,电子信箱:812833259@qq.com

0、24、48、72 h 4 个时间点对各组细胞进行检测,用酶标仪检测各孔吸光度(*A* 值)。制作生长曲线并计算细胞增殖率。

6. 流式细胞术检测细胞周期和凋亡:转染 48 h 后,收集细胞并制成悬液:(1)周期实验:调整细胞浓度为 $1 \times 10^6/\text{ml}$,用 70% 的乙醇固定,放 4℃ 冰箱中过夜。PBS 洗涤后加入 0.1 ml 的核糖核酸酶 A,37℃ 水浴 30 min。再加入 0.4 ml 的 PI 混匀,置冰上避光 30 min。流式细胞仪检测 G_0/G_1 期、S 期以及 G_2/M 期的相对比例。(2)凋亡实验:用 PBS 洗涤细胞两次,调整细胞数到 $(1 \sim 5) \times 10^5$ 个,加入 0.5 ml 的 Binding Buffer,反复吹打,先后加入 5 μl 的 Annexin V - FITC 和 PI,混匀。避光 5~15 min,1 h 内流式细胞仪检测凋亡。

7. 检测各组细胞的迁移和侵袭能力:(1)侵袭实验:用 FN 和 Matrigel 基质涂抹在 Transwell 小室下构建基膜,将转染 48 h 后的各组胃癌细胞用含 0.5% 胎牛血清的 DMEM 悬浮,浓度调整到 4.0×10^5 个/毫升,取 0.1 ml 注入 Transwell 小室,将 0.5 ml 含 5% 胎牛血清的 DMEM 加入下室,培养 24 h 后取出小室并用棉签抹去上层未转移细胞,甲醛固定下层细胞后并结晶紫染色,镜下随机取 5 个视野统计数目后取平均值。计算穿膜细胞数。(2)迁移实验:除 Transwell 小室不涂抹 Matrigel 胶外其余与侵袭实验一致。

8. 统计学方法:应用 SPSS 17.0 统计学软件对数据进行统计分析,单因素方差分析(*one-way ANOVA*)法检验,以 $P < 0.05$ 为差异有统计学意义。

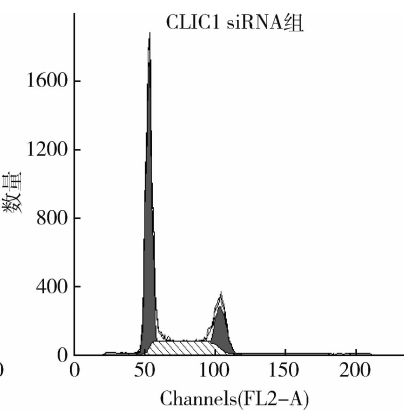
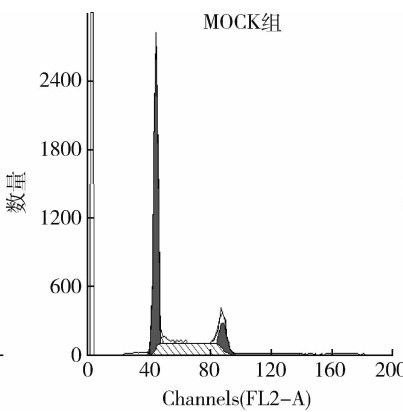
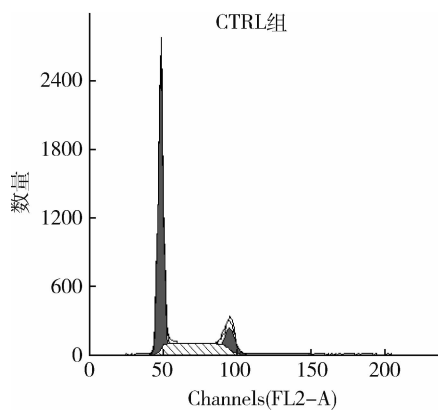


图 2 流式细胞仪检测 BGC - 823 胞周期分布

3. CLIC1 siRNA 对胃癌细胞凋亡的影响:转染 48 h 后,测定 MOCK 组、CTRL 组和 CLIC1 siRNA 组细胞的凋亡率分别为 $16.59\% \pm 0.62\%$ 、 $16.11\% \pm$

结 果

1. MTT 实验检测细胞增殖:所绘生长曲线图如图 1:(1)转染后 24、48、72 h 3 个时间点 CLIC1 siRNA 组细胞增殖明显增强($P < 0.05$),MOCK 组和 CTRL 组之间比较差异无统计学意义($P > 0.05$)。(2)BGC - 823 增殖率在转染 24 h 后为 22.38%,48 h 后为 25.53%,72 h 后为 20.17%。表明,抑制 CLIC1 的表达会增强胃癌细胞在体外的生长,且在 48 h 的增殖率最高。

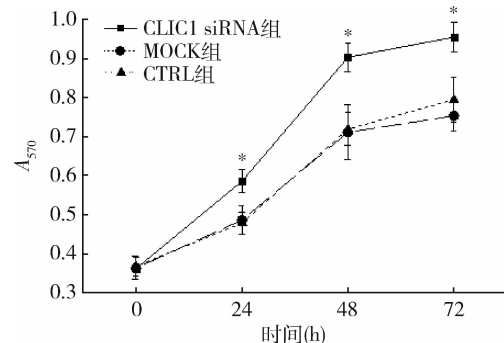
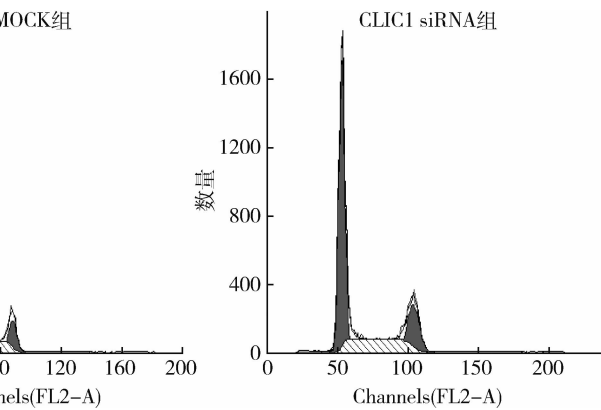


图 1 CLIC1 siRNA 对 BGC - 823 细胞生长曲线的影响
与 MOCK 组比较, * $P < 0.05$

2. CLIC1 siRNA 对胃癌细胞周期的影响:转染 48 h 后(图 2),CLIC1 siRNA 组 G_2/M 期比例达到 $(19.13\% \pm 1.38\%)$,与 CTRL 组 $(11.55\% \pm 0.99\%)$ 和 MOCK 组 $(11.57\% \pm 1.01\%)$ 比较,前者停滞在 G_2/M 期的比例明显增加($P < 0.05$),而 CTRL 组和 MOCK 组之间比较,差异无统计学意义($P > 0.05$,图 3)。可见下调 CLIC1 在 MGC - 823 细胞中的基因表达, G_2/M 的停滞期会增强。



$1.06\% \pm 1.01\%$ (图 4)。CLIC1 siRNA 组细胞凋亡率显著低于 CTRL 组和 MOCK 照组($P < 0.05$),而 CTRL 组和 MOCK 组之间比较差异无统计

学意义 ($P > 0.05$, 图 5)。

4. CLIC1 siRNA 对胃癌细胞株侵袭和迁移能力的影响: 在侵袭实验(图 6)和迁移实验(图 7)中, CLIC1 siRNA 组穿膜细胞数均低于 CTRL 组、MOCK 组, 差异有统计学意义 ($P < 0.05$), 与 CTRL 组比较, 细胞侵袭和迁移能力抑制率分别为 53.26% (图 8) 和 51.09% (图 9)。CTRL 组和 MOCK 组间比较差异均无统计学意义, 提示 CLIC1 siRNA 抑制 BGC - 823 细胞中 CLIC1 基因表达后抑制了胃癌细胞的侵袭和迁移能力。

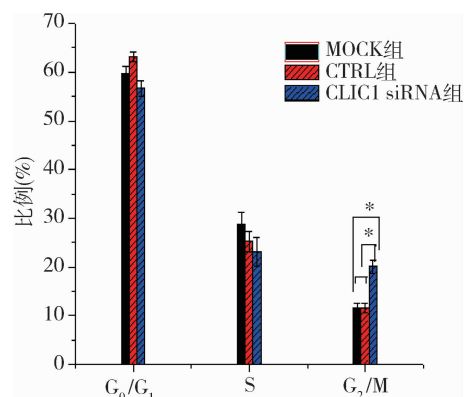


图 3 各组细胞周期分布的比较

* $P < 0.05$

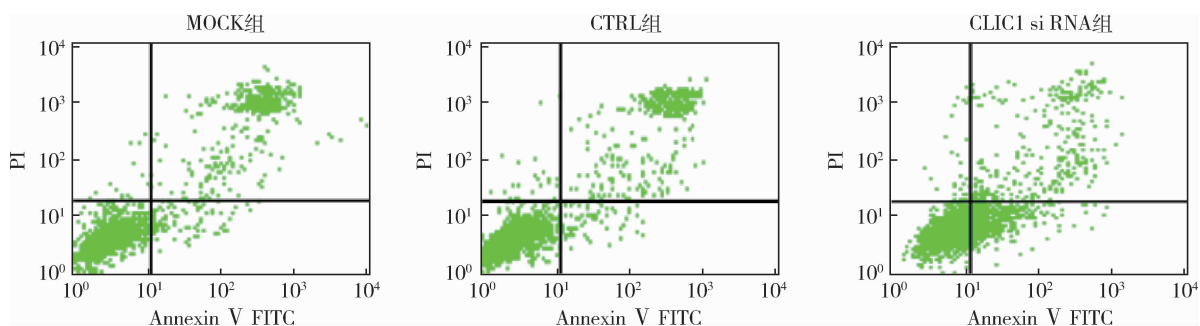
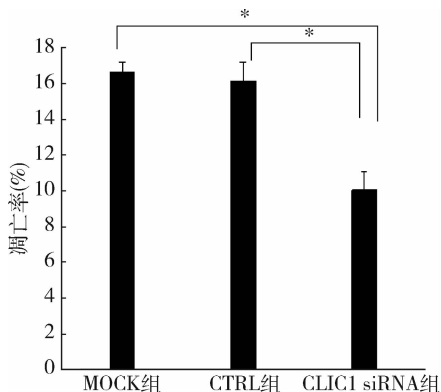


图 4 流式细胞仪检测各组 BGC - 823 细胞凋亡率



* $P < 0.05$

讨 论

细胞内氯离子通道蛋白 1 以可溶型和整合膜型两种形式广泛存在, 并且两种形式可以相互转换。可溶型 CLIC1 的结构与 GST 超家族具有同源性, 具有氧化还原酶活性, 在适当条件下可溶型 CLIC1 整合到细胞膜的脂质双层结构中则能发挥离子通道功能^[4,5]。近年来研究发现 CLIC1 在多种肿瘤细胞中高表达, 如卵巢癌、胰腺癌等, 有研究显示, CLIC1 在胃癌组织中亦高表达^[2,6,7]。通过进一步研究发现, CLIC1 不仅参与调解细胞容积、pH 值、跨膜转运等生理过程, 而且参与调解癌细胞的增殖、分化、周期、侵袭、转移等过程^[8~11]。然而, CLIC1 对胃癌细胞 BGC -

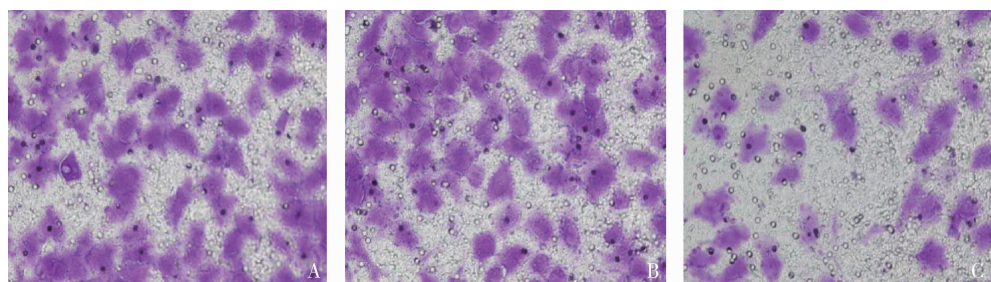


图 6 各组细胞侵袭实验中穿越基膜的细胞(结晶紫染色, $\times 400$)

A. MOCK 组; B. CTRL 组; C. CLIC1 siRNA 组

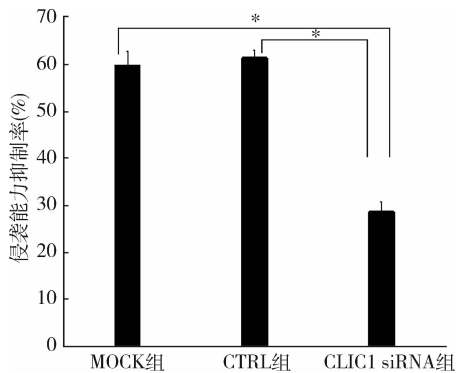
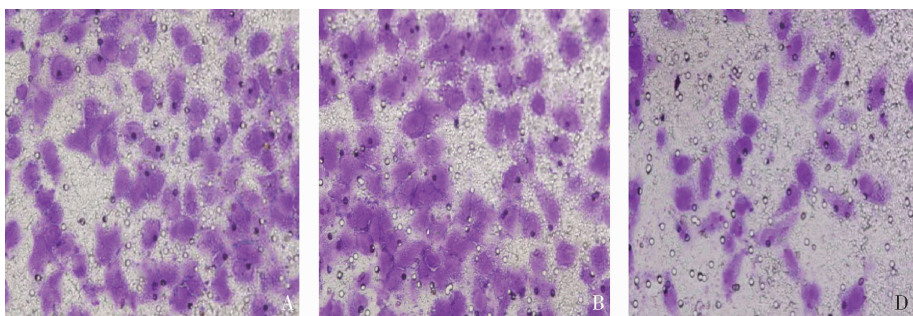


图 7 各组细胞侵袭数目的比较

 $* P < 0.05$ 图 8 各组细胞迁移实验中穿越基膜的细胞(结晶紫染色, $\times 400$)

A. MOCK 组; B. CTRL 组; C. CLIC1 siRNA 组

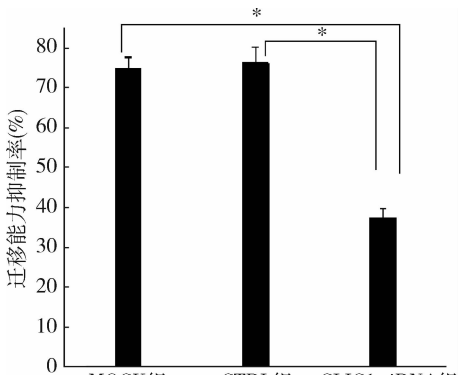


图 9 各组细胞侵袭数目的比较

 $* P < 0.05$

停滞在 G_2/M 期的结果一致,而且可能与阻断 CLIC1 酶的活性有关^[4]。进一步研究发现,当细胞停滞在 G_2/M 期时 CLIC1 存在于细胞膜,并且其电流密度大约是 G_1/S 期的 2 倍,笔者推测 CLIC1 可能参与调控细胞的生理、生化过程^[12]。另外笔者研究发现,转染 48h 后,CLIC1 siRNA 组细胞凋亡率显著下降($P < 0.05$),提示 CLIC1 基因有促进胃癌细胞凋亡的作用,这与笔者的前期实验及李荣宽等^[3,11]的研究结果相似。

823 生物学行为的影响尚未见报道。

本研究中,笔者利用 siRNA 将 BGC - 823 中 CLIC1 基因的表达有效沉默,发现沉默 CLIC1 后胃癌细胞的增殖能力显著增强,并且在 48h 增殖率最高,提示 CLIC1 基因本身可能抑制细胞的增殖。这与以往文献报道 CLIC1 基因在肝癌细胞中的作用相一致^[11]。

在周期实验中,笔者发现,抑制胃癌 BGC - 823 细胞中 CLIC1 基因的表达,可以影响细胞周期的进展,使细胞周期停滞在 G_2/M 期。这与用 IAA94 阻断中国仓鼠 CHO - K1 细胞中 CLIC1 的基因表达后,细胞

近年来研究发现,CLIC1 在肿瘤侵袭和转移过程中发挥着重要的作用^[13]。笔者通过 siRNA 下调 CLIC1 基因在胃癌 BGC - 823 细胞中的表达,发现胃癌细胞的侵袭($P < 0.05$)和迁移能力($P < 0.05$)显著下降。相反,Wang 等^[14]通过上调 CLIC1 在神经胶质瘤细胞中的表达发现它则能促进细胞的侵袭和迁移。这一作用与前述的 CLIC1 基因本身可能抑制细胞的增殖并能促进细胞的凋亡的结果相互矛盾,李荣宽等^[11]推测其机制很可能为 CLIC1 本身为一种抑癌基因,但高表达的 CLIC1 基因反馈性地增加了上游调控因子纤维状肌动蛋白(fibrous actin, F - actin)的表达,因为 F - actin 是细胞内重要的细胞骨架组成部分,具有调控细胞运动的功能,参与调控细胞的侵袭和转移,同时能通过信号转导通路调控细胞内的 CLIC1^[15,16]。肿瘤内 CLIC1 高表达可能反馈性引起 F - actin 的表达,从而促进了肿瘤细胞的迁移和侵袭。另外 Pan 在对结肠癌的研究中,发现 CLIC1 是通过 ROS/ERK 信号传导通路对细胞的侵袭和迁移进行调控^[17];不过,在小鼠肝癌中 CLIC1 对肿瘤细胞侵袭和迁移进行的调控则与模联蛋白 A7 和凝溶胶蛋白有关^[18]。而在对胃癌细胞 SGC - 7901 的研究中发

现,此调解过程则可能由 ROS/p38 MAPK 信号通路来完成^[19]。但在 BGC - 823 细胞中的调控机制尚需进一步研究。

参考文献

- 1 Saralamma VV, Nagappan A, Hong G E, et al. Poncirin induces apoptosis in AGS human gastric cancer cells through extrinsic apoptotic pathway by up-regulation of fas ligand[J]. Int J Mol Sci, 2015, 16(9):22676–22691
- 2 Chen CD, Wang CS, Huang YH, et al. Overexpression of CLIC1 in human gastric carcinoma and its clinicopathological significance [J]. Proteomics, 2007, 7(1):155–167
- 3 Ma PF, Chen JQ, Wang Z, et al. Function of chloride intracellular channel 1 in gastric cancer cells[J]. World J Gastroenterol, 2012, 18(24):3070–3080
- 4 Al KH, Brown LJ, Hossain KR, et al. Members of the chloride intracellular ion channel protein family demonstrate glutaredoxin-like enzymatic activity[J]. PLoS One, 2015, 10(1):e115699
- 5 Averaimo S, Abeti R, Savalli N, et al. Point mutations in the transmembrane region of the clic1 ion channel selectively modify its biophysical properties[J]. PLoS One, 2013, 8(9):e74523
- 6 Tang HY, Beer LA, Tanyi JL, et al. Protein isoform-specific validation defines multiple chloride intracellular channel and tropomyosin isoforms as serological biomarkers of ovarian cancer[J]. Journal of proteomics, 2013, 89: 165–178
- 7 Jia NN, Dong SL, Zhao G, et al. CLIC1 overexpression is associated with poor prognosis in pancreatic ductal adenocarcinomas[J]. J Cancer Res Therapeut, 2016, 12:892–896
- 8 Peretti M, Angelini M, Savalli N, et al. Chloride channels in cancer: Focus on chloride intracellular channel 1 and 4 (CLIC1 AND CLIC4) proteins in tumor development and as novel therapeutic targets [J]. Biochim Biophys Acta, 2015, 1848(10 Pt B):2523–2531
- 9 Wang W, Xu X, Wang W, et al. The expression and clinical significance of CLIC1 and HSP27 in lung adenocarcinoma[J]. Tumour Biol, 2011, 32(6):1199–1208
- 10 Lu J, Dong Q, Zhang B, et al. Chloride intracellular channel 1 (CLIC1) is activated and functions as an oncogene in pancreatic cancer[J]. Med Oncol, 2015, 32(6):616
- 11 李荣宽, 唐建武, 张军, 等. shRNA 稳定转染抑制氯离子通道蛋白 1 基因的表达对小鼠肝癌细胞的影响 [J/CD]. 中华临床医师杂志: 电子版, 2010, 4(6):721–727
- 12 Stefania A, Rosemary HM, Michael RD. Chloride intracellular channel 1 (CLIC1): Sensor and effector during oxidative stress[J]. FEBS Lett, 2010, 584: 2076–2084
- 13 Ding Q, Li M, Wu X, et al. CLIC1 overexpression is associated with poor prognosis in gallbladder cancer[J]. Tumour Biol, 2015, 36(1):193–198
- 14 Wang L, He S, Tu Y, et al. Elevated expression of CLIC1 is correlated with poor prognosis in human gliomas[J]. J Exp Clin Cancer Res, 2012, 31:44
- 15 Wang P, Zeng Y, Liu T, et al. Chloride intracellular channel 1 regulates colon cancer cell migration and invasion through ROS/ERK pathway[J]. World J Gastroenterol, 2014, 20(8):2071–2078
- 16 Singh H, Cousin MA, Ashley RH. Functional reconstitution of mammalian 'chloride intracellular channels' CLIC1, CLIC4 and CLIC5 reveals differential regulation by cytoskeletal actin[J]. FEBS Journal, 2007, 274:6306–6316
- 17 Suginta W, Karoulias N, Aitken A, et al. Chloride intracellular channel protein CLIC4(p64H1) binds directly to brain dynamin I in a complex containing actin, tubulin and 14–3–3 isoforms[J]. Biochem J 2001, 359:55–64
- 18 Zhang J, Li M, Song M, et al. Clic1 plays a role in mouse hepatocarcinoma via modulating Annexin A7 and Gelsolin in vitro and in vivo [J]. Biomed Pharmacother, 2015, 69:416–419
- 19 Zhao W, Lu M, Zhang Q. Chloride intracellular channel 1 regulates migration and invasion in gastric cancer by triggering the ROS-mediated p38 MAPK signaling pathway[J]. Mol Med Rep, 2015, 12(6):8041–8047

(收稿日期: 2017-07-15)

(修回日期: 2017-09-08)

(上接第 86 页)

- 8 宋国智, 刘吉祥, 常成, 等. Kawase's 入路切除脑干海绵状血管瘤的临床研究[J]. 神经损伤与功能重建, 2016, 11(6):512–514
- 9 Xiao X, Zhang L, Wu Z, et al. Surgical resection of large and giant petroclival meningiomas via a modified anterior transpetrous approach [J]. Neurosurg Rev, 2013, 36(4):587–593
- 10 Shiba S, Borghei-Razavi H, Orii M, et al. Anterior transpetrosal approach combined with partial posterior petrosectomy for petroclival meningiomas with posterior extension[J]. World Neurosurg, 2015, 84(2):574–579
- 11 张喜安, 漆松涛, 张嘉林, 等. 改良颞下经岩骨入路显微外科切除岩斜区肿瘤 20 例[J]. 中华神经外科杂志, 2010, 26(1):65–67
- 12 陈立华, 杨艺, 徐如祥. 岩斜区脑膜瘤的手术入路选择及其手术相关问题探讨[J]. 中华神经医学杂志, 2015, 14(3):314–319
- 13 鲁军体, 王娜, 程龙海, 等. 颞下经小脑幕入路手术切除岩尖斜

坡区肿瘤的效果分析[J]. 神经损伤与功能重建, 2016, 11(3):266–267

- 14 Borghei-Razavi H, Tomio R, Fereshtehnejad SM, et al. Pathological location of cranial nerves in petroclival lesions: how to avoid their injury during anterior petrosal approach[J]. J Neurol Surg Part B Skull Base, 2016, 77(1):6–13
- 15 Natarajan SK, Sekhar LN, Schessel D, et al. Petroclival meningiomas: multimodality treatment and outcomes at long-term follow-up [J]. Neurosurgery, 2007, 60(6):979–981
- 16 Borghei-Razavi H, Tomio R, Fereshtehnejad SM, et al. Anterior petrosal approach: the safety of Kawase triangle as an anatomical landmark for anterior petrosectomy in petroclival meningiomas[J]. Clin Neurol Neurosurg, 2015, 139(1):282–287

(收稿日期: 2018-01-04)

(修回日期: 2018-01-05)